

بهینه سازی طراحی بر مبنای نتایج تجربی و با استفاده از روش عناصر محدود

مهندس سید مصطفی میرسلیم

مری دانشکده مهندسی مکانیک دانشگاه صنعتی امیرکبیر

چکیده:

مشکلات ناشی از ضعف طراحی قطعات بعد از عملکرد، مورد بررسی و معاینه دقیق قرار گرفته است و سپس با استفاده از معادلات کشسانی (élasticité) و به کمک روش محاسبه عناصر محدود (méthode des éléments finis)، الگویی از قطعه مورد نظر به دست آمده است. برای تحلیل هرچه دقیقتر نقاط ضعف، همان الگو و سیله‌ای شده است برای اصلاح نقشه و بهینه سازی طراحی به گونه‌ای که بر طرف کننده نواقع ناولیه باشد.

به عنوان مثال دسته سنبه^{*} یک موتور دیزل انتخاب شده و به استناد مشاهدات عینی از وضع قسمت فوقانی آن، نقشه بهینه‌ای برای حذف پدیده سایش (fretting) پیشنهاد شده است.

*Design optimaztion, on the base of experimental results
and by the use of finite element method*

S.M.Mirsalim, Mechanical Engineering

Amirkabir Univ.of Technology

Abstract:

We have studied some mechanical difficulties which occur in a typical engine after a normal period of running and that come from the weakness of design. Engine pieces were examined precisely and the amplitude of deformation were measured. By using elasticity equations and the finite element method, we have defined a model for a bidimensional particular part of the piece. Then we profited from the same model to correct the design and to eliminate the functional problem. The engine piece we studied in this article is the connecting rod of a semi - rapid diesel engine. We observed the upper part of this piece had suffered from fretting and pitting. We proposed, finally, a modified contour for this part to suppress fretting between Journal and the upper hole of the connecting-rod.

* Connecting-rod

۱) مقدمه

بیضی شکل شدن این حفره که قطر آن 92mm است، به اندازه 0.05mm، نتیجه تغییر شکل کشسان جایگاه یاتاقان (به قطر 102mm) است یعنی بین یاتاقان و جایگاهش در قسمت فوقانی دسته سمبه یک لغزش پدید آمده است. آنچه از معاینه سطوح خارجی یاتاقان و داخلی جایگاهش یعنی حفره قسمت فوقانی دسته سمبه استنباط می شود حاکی از دونکته است:

- ۱- در قسمت‌هایی پوسته سطحی کنده شده و گویای پدیده اصطکاک است. این را سایش می‌گوییم (fretting).
- ۲- در قسمت‌هایی نقطه جوشاهی بسیار ریز دیده می شود که هنگام استخراج یاتاقان از هم گسیخته شده و اثری که با ناخن محسوس است، باقی گذارده است. این را خال خوردگی (pitting) می‌گوییم.

این دو اشکال باعث کاهش قابلیت تخلیه گرما و افزایش دمای یاتاقان و درنتیجه، از هم گسیختن غشاء روغن می شود. به علاوه ممکن است سرآغاز ترک خوردگی هم بشود. از طرف دیگر بامعاينه دقیق داخل یاتاقان، مشاهده می شود که منطقه ای با وسعت زاویه ای فقط حدود ۱۴۰° تیره رنگ شده است که همان منطقه تماس محور سمبه (Gudgeon Pin) و یاتاقان است.

۳) هدف

می خواهیم این پدیده مضر یعنی سایش پوسته ای را حذف کنیم یا اثر آن را کاهش دهیم. بدین منظور ابتدا سعی می کنیم هر چه بهتر الگویی به دست آوریم که تزدیک به حالت واقعی باشد و به کمک آن، شناخت کاماتری از رفتار قطعه تحت تأثیر نیروهای احتراق و لختی (Combustion & Inertia) کسب کنیم. سپس روی الگو مبادرت به تغییر برخی عوامل و فراسنجه (Parametres) و بررسی نتایج آن بر تنش و تغییر شکل می کنیم.

محاسبه تنشهای واقعی- برای این محاسبه، باید فرضهای مناسبی انتخاب کنیم که با نتایج تجربی معاینه شده تطابق داشته باشد و ضمناً در خور نرم افزار نیز باشد. با استفاده ازداده ها، تغییر شکلها و تنشها به دست می آید. با این محاسبه می توانیم تنشهای عمودی و مماسی را روی سطح تماس یاتاقان و حفره قسمت فوقانی دسته سمبه مقایسه کنیم و سپس بهترین ترکیب داده ها را که نتایجی رضایت‌بخش داده اند برگزینیم.

اثر عوامل مختلف- حال با استفاده از الگوی به دست آمده می توانیم محاسبه را از سرگیریم و عواملی نظری ضخامت یاتاقان و نقشه قسمت فوقانی دسته سمبه را تغییر دهیم تا

محاسبه تنشها و تغییر شکلها (جابجایی های درونی) مرحله مهمی در طراحی ساختار مکانیکی است. شناخت ناقص تنشها یا جابجایی های داخلی هر قطعه تحت تأثیر نیروهای خارجی، می تواند عواقب ناگواری به بار آورد. مثلاً ممکن است منجر به حالت های غیرعادی از لحاظ شکل عمومی یا ابعاد شود یعنی قطعاتی با اندازه های اغراق آمیز و بنابراین گران یا قطعاتی با اندازه های ضعیف و بنابراین عملکردی خطرناک به دست دهد. بنابراین اگر بخواهیم طراحی بامراudes دوچندین مهم یعنی اطمینان از عملکرد و مقابله رقابت صورت پذیرد، ضروری است تحریکاتی را که بر هر قطعه مکانیکی در حین بهره برداری اعمال خواهد شد، با دقت بشناسیم.

عموماً برای تعیین تنشها و تغییر شکلها، قواعد دستورهای متعارف مقاومت مصالح به کار می رود. در بسیاری از موارد این قواعد کافی هستند ولی کاربرد آنها تا موقعی مجاز است که قطعات را بتوان تشییه به شکل های ساده نظیر تیر یا ستون کرد. در موارد پیچیده تر ناگزیر باید از معادلات نظریه کشسانی کمک گرفت. در مواردی که فرض جابجایی های کوچک مقبول باشد، این نظریه بخوبی می تواند رفتار یک سازه را تحت تأثیر تحریکاتی ایستای خارجی تشریح کند.

معادلات ناشی از نظریه کشسانی از لحاظ ریاضی دقیق هستند اما در آنها مشتقهای نسبی وجود دارد و لذا حل آن دستگاه معادلات جز در مورد قطعات ساده و حالت بار ساده میسر نیست مگر به کمک وسائل محاسباتی پیشرفته و با استفاده از روش های ویژه نظیر روش عناصر محدود.

در این بررسی نرم افزار مورد استفاده متکی به نظریه کشسانی برای قطعات دو بعدی همسانگرد (isotropic) و حالت تنش دو بعدی و جابجایی دو بعدی و روش عناصر محدود با عناصر مثلثی هم فراسنجه (isoparametric) با شش گره (noeud) می باشد.

۲) صورت مسئله

بررسی سایش (fretting) پوسته داخلی قسمت فوقانی دسته سمبه - جستجوی راه حل بهینه. با معاینه قطعات کارکرده موتور محرک یک قطار، پس از هشتصد هزار کیلومتر، مشاهده شد که حفره قسمت فوقانی دسته سمبه ها به شکل بیضی درآمده اند. پس از استخراج یاتاقان حلقوی، حفره شکل استوانه ای با مقطع دایره ای خود را بازیافت: شکل ۱.

پیرامون دایره مقطع یاتاقان و آن هم بر طبق قانون خاصی توزیع می شوند.

در مجموع شش حالت توزیع مورد بررسی و مقایسه قرار گرفته است: توزیع سینوسی و ذوزنقه ای با زوایای 120° , 150° , 180° . در همه حالات، چه برای نیروی احتراق و چه برای نیروی لختی، مطالعه تنشهای عمودی و مماسی در سطح تماس یاتاقان - حفره، دو منطقه تنشهای بزرگ را نشان می دهد: شکل ۳ و شکل ۴.

اگر ضریب اصطکاک بین یاتاقان و حفره را 0.15

فرض کنیم به این نتیجه می رسیم که در آن دومنطقه امکان لغزش وجود دارد: در آنجا تنشهای مماسی بزرگتر از حاصل ضرب تنشهای عمودی و ضریب اصطکاک است (تجاوز). به این ترتیب با محاسبه دو منطقه بحرانی ظاهر می شود حال آن که در واقع یکی بیشتر وجود ندارد. بررسی جابجاییهای ناشی از نیروهای احتراق نشان می دهد که بین این دو منطقه تقاضوتی وجود دارد: در یک منطقه لغزش خالص وجود دارد در حالی که در دیگری نوعی همگرایی جابجاییها به پس می خورد (مؤلفه های مماسی شان در دو جهت متقابل به هم تقسیم شده اند) به گونه ای که پوسته سطحی در این منطقه در حال تراکم است شکل ۵.

جابجاییهای ناشی از نیروی لختی نیز منطقه لغزشی را پیدادار می سازند که تقریباً با منطقه ناشی از احتراق تطبیق دارد. از میان شش حالت، توزیع سینوسی با زاویه 150° بهترین پاسخ را می دهد و نزدیکتر به نتایج تجربی است. بنابراین به عنوان الگو در محاسبات آتی، این حالت توزیع نیرو انتخاب می شود شکل ۶.

با این الگو محاسبه کامل انجام می گیرد و منحنیهای تغییر شکل رسم می شود: مؤلفه های مماسی تغییر شکل با نیروی احتراق شکل ۷ و با نیروی لختی شکل ۸ و منحنی تغییر شکل مقطع پیرامونی تحت تأثیر نیروی احتراق شکل ۹. ملاحظه می شود که منطقه تنشهای مماسی بیشینه از منطقه تغییر شکلهای مماسی بیشینه تمایز است و منطقه ای نیز وجود دارد که در آن تغییر شکلهای مماسی صفر است. در حالی که مابقی قطعه کلاً تغییر شکل می دهد.

برای تکمیل بررسی معیار ویژه ای نیز در نظر گرفته شده: تفاضل تنشهای مماسی بین حالت نیروی لختی و حالت نیروی احتراق شکل ۱۰. به این نتیجه می رسیم که این تفاضل در طرف ستون دسته سمبه تقریباً دو برابر طرف سمبه است:

$$2.35 \text{ daN/mm}^2 \text{ در مقابل } 4.8 \text{ daN/mm}^2$$

شکلهایی که موجب بهبود مقاومت دسته سمبه می شود و قابلیت ساخت و تولید را دارد به دست آید.

پادآوری: در این بررسی تغییر کلی پهنهای قطعه و نیروی حلقه اندازی را درنظر نگرفته ایم زیرا مطالعه قبلی به ما نشان داده بود که نیروی حلقه اندازی تأثیر کمی بر کاهش لغزش دارد و این که تغییر پهنا مطمئناً بر نزدیکی داشت داخل قطعه مؤثر است ولی ضرورتهای ناشی از کمبود فضا چنان راه حلهایی را حذف می کند.

(۴) شبکه بندی عناصر

در محاسبات پی در پی معلوم شد که فشردنگی شبکه عناصر تأثیر بسزایی بر پیوستگی و قابلیت اطمینان نتایج دارد. به همین دلیل بالاخره در منطقه بحرانی بر ظرافت شبکه افزوده ایم: تعداد گره ها بر روی سطح تماس یاتاقان و حفره قسمت فوقانی دسته سمبه دوباره شده است تا بتوان با استقلال آنها از یکدیگر اثر جابجایی نسبی یعنی اثر لغزش یاتاقان را نسبت به حفره مطالعه کرد. با توجه به صفحه تقارن دسته سمبه، فقط نیمی از آن شبکه بندی شده است تا در مدت زمان محاسبه صرفه جویی شود شکل ۲.

(۵) شرایط سرحدی جابجایی

گره هایی که روی محور متقارن قرار گرفته اند در حرکت خود به موازات محور تقارن آزادند ولی در جهت عمود بر آن بی حرکتند. بدین ترتیب قابلیت تشابه مناسبی برای قسمتی از دسته سمبه که در شبکه بندی منظور نشده است به دست می آید. گره هایی که روی محل اتصال قسمت فوقانی دسته سمبه با ستون بدنده آن قرارداده شده اند در درجه 0° و 90° بیحرکتند.

(۶) نیروهای اعمال شده

این نیروها ناشی از احتراق و لختی و حلقه اندازی است. برای محاسبه تنشها، سه مورد ترکیب نیروها را درنظر می گیریم: حلقه اندازی؛ حلقه اندازی + احتراق؛ حلقه اندازی + لختی. برای حلقه اندازی عملأً دسته سمبه به دمای 100°C گرم می شود در حالی که یاتاقان را با غوطه ور ساختن در ازت مایع در 195°C - خنک می کنند.

نیروی احتراق موجب تراکم و نیروی لختی موجب کشش دسته سمبه می شود. اما با توجه به این که بین محور سمبه و یاتاقان لقی وجود دارد عملأً نیروها فقط بر قسمتی از

	طرف سمت دسته سمبه	طرف سمبه	
daN/mm ² تغییر تنش مماسی	- 2.79 بـ 3.36	از 0.55 بـ 0.66	نیروی احتراق
تغییر تعداد گره ها در منطقه تجاوز	- 17% یعنی از 20 به 22	- 18% یعنی از -	
تغییر مقدار بیشینه تجاوز daN/mm ²	از 1.8 بـ 2.18	-	
daN/mm ² تغییر تنش مماسی	-	از -1.53 بـ -1.73	نیروی لختی
تغییر تعداد گره ها در منطقه تجاوز	از 34 بـ 35	- 11% یعنی از -	
تغییر مقدار بیشینه تجاوز daN/mm ²	از 1.68 بـ 1.98	-	
معيار ویژه-تفاضل بیشینه daN/mm ²	4	2.03	

طرف سمبه	طرف سمت دسته سمبه	طرف سمبه	طرف سمت دسته سمبه
تش مماسی بیشینه daN/mm ²	- 3.36	0.66	نیروی احتراق
تعداد گره ها در منطقه تجاوز	22	35	
مقدار بیشینه تجاوز daN/mm ²	2.18	0.48	
تش مماسی بیشینه daN/mm ²	2.15	- 1.73	نیروی لختی
تعداد گره ها در منطقه تجاوز	35	25	
مقدار بیشینه تجاوز daN/mm ²	1.98	1.45	

۸) محاسبه برای حالت پهنهای متغیر

در حالتی که پهنهای قسمت فوقانی دسته سمبه تغییر می کند و این تغییر به صورت پیوسته و تدریجی انجام می گیرد، محاسبات از سرگرفته شده است شکل ۱۱. نتایج محاسبات برای تنش در شکلهای ۱۲ و ۱۳ و برای جابجایی در شکل ۱۴ نشان داده شده است. در مجموع به این نتیجه می رسمیم که بین حالات پهنهای متغیر و پهنهای یکنواخت، چندان تفاوتی وجود ندارد. در منطقه بحرانی معذالک تنشهای مماسی در حالت پهنهای متغیر نسبت به پهنهای یکنواخت کمتر است.

۹) محاسبه با فرض امکان لغزش مماسی بین یاتاقان و حفره

نتیجه جابجاییها روی شکل ۱۵ مشخص شده است: هم یاتاقان و هم حفره دارای جابجایی مماسی با تغییر علامت هستند. البته در مورد حفره قسمت فوقانی دسته سمبه، شدت این امر بیشتر است. ملاحظه می شود که در یک منطقه تغییر مکان یاتاقان و حفره در جهت خلاف یکدیگرند.

۱۰) پهنه سازی ضخامت یاتاقان

یاتاقان موجود به ضخامت 5mm است. دو ضخامت دیگر برای محاسبه انتخاب شد: 3.5mm و 7mm. وقتی یاتاقان ضخیمتر را بررسی می کنیم ملاحظه می کنیم که تنشهای مماسی افزایش واضحی پیدا کرد. ولی در یاتاقان نازکتر بهبودهایی حاصل شده که در جدول خلاصه شده است شکل ۱۶. البته این بهبودها برای حل کامل مسئله سایش (fretting) کافی نیست خصوصاً که ضخامت یاتاقان را به کمتر از 3.5mm نمی توان رساند.

۱۱) پهنه سازی طراحی

با توجه به ابعاد سمبه و حرکت نوسانی دسته سمبه در اثر گردش میل لنگ ابتدا باید منطقه امکان تغییر در طراحی را مشخص کرد شکل ۱۷.

اکنون چهار طرح جدید را مورد بررسی قرار می دهیم:

طرح اول: قسمت اتصال به ستون نازکتر شکل ۱۸

طرح دوم: قسمت اتصال به ستون تقویت شده شکل ۱۸

طرح سوم: کل قسمت فوقانی تقویت شده شکل ۱۹

طرح چهارم: قسمت اتصال به ستون تقویت شده ولی تقیه نازکتر شکل ۱۹.

خلاصه نتایج برای مقایسه در جدول پیوست آمده است شکل ۲۰.

۱۲) نتیجه گیری

الگوی مناسب برای مطالعه رفتار یاتاقان قسمت فوقانی دسته سمبه به دست آمد و اثر عوامل مختلف بر تغییر شکل و

تنش داخل مجموعه یاتاقان - دسته سمبه مطالعه شد:

راه حل قطعی جلوگیری از سایش پوسته داخلی قسمت فوقانی دسته سمبه اصلاح نقشه آن و تقویت طراحی است و با استفاده از روش عناصر محدود متوجه شدیم که افزایش ضخامت کل قسمت فوقانی دسته سمبه تأمبا کاهش ضخامت یاتاقان، مسیر مناسبی برای پهنه سازی است.

در تمام این مطالعه، مقایسه نتایج محاسبه با استفاده از ضرب اصطکاکی برابر با ۱۵/۰ انجام گرفته است. شایسته است مستقلآ با آزمایش و اندازه گیری تجربی، مقدار دقیق آن تعیین شود و مورد استفاده قرار گیرد. البته این افزایش دقت، جهت کلی نتیجه گیری را تغییر نمی دهد.

جدول خلاصه مقایسه نتایج

نقشه طراحی طرح و نقشه موجود طرح اول (-) طرح دوم (+) طرح سوم (-+) طرح چهارم (+++) یاتاقان 3.5mm

نتایج حاصل در طرف ستون دسته سمهیه

$\frac{daN}{mm^2}$	1.8	1	0.93	1.33	3	2.18	تجاوز	
هـ	20	19	19	21	21	22	$\sigma_t > \sigma_n \times 0.15$	نیروی احتراق
$\frac{daN}{mm^2}$	-2.79	-2.14	-2.07	-2.51	-4.19	-3.36	$\sigma_t \max$	
%	-17	-36	-38	-25	+25	0		
$\frac{daN}{mm^2}$	1.68	1.45	1.6	1.68	2.5	1.98	تجاوز	
هـ	34	35	36	35	33	35	$\sigma_t > \sigma_n \times 0.15$	نیروی لختی
$\frac{daN}{mm^2}$	1.82	1.67	1.85	1.84	2.64	2.15	$\sigma_t \max$	
%	-15	-22	-14	-14	+23	0		
$\frac{daN}{mm^2}$	4	3.1	3.1	3.7	5.9	4.18	میزان	
%	-4	-26	-26	-11	+41	0	میزان هـ	

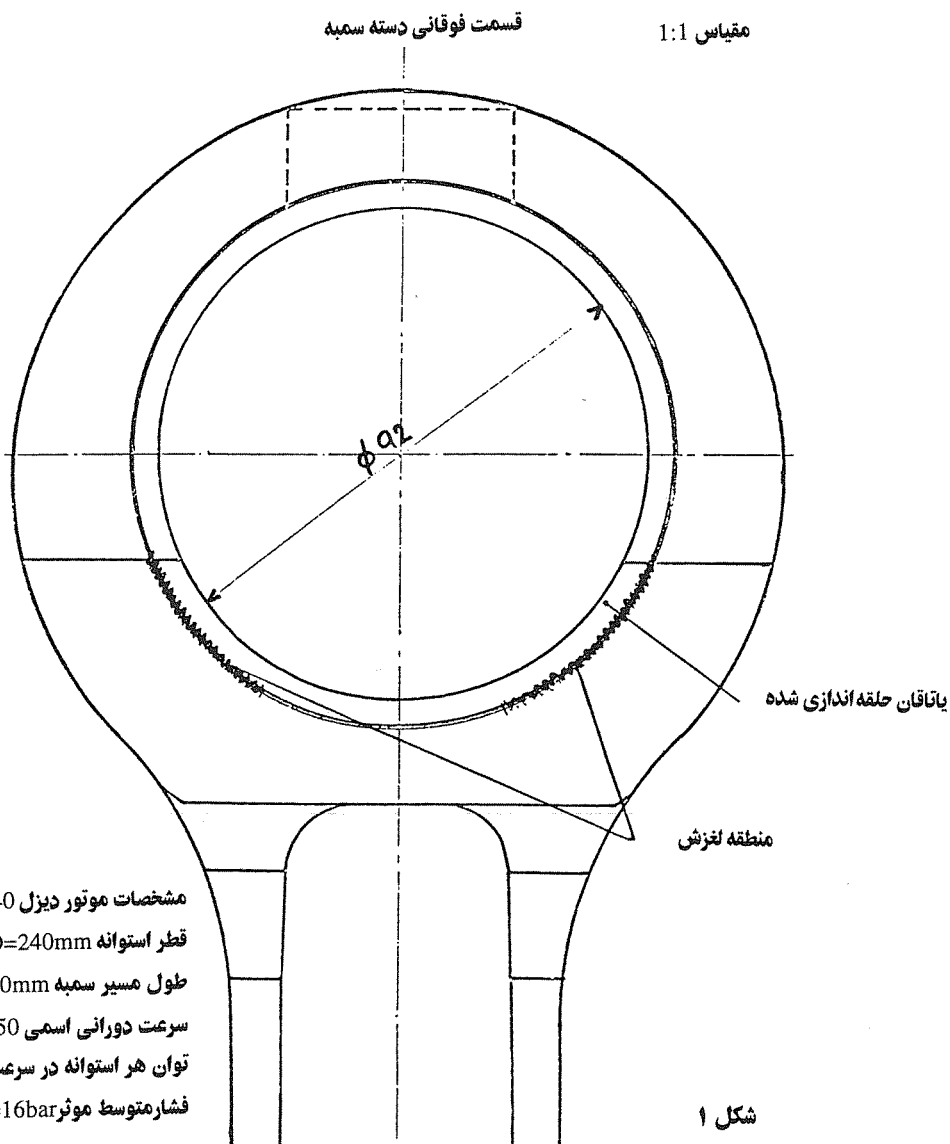
نتایج حاصل طرف سمهیه

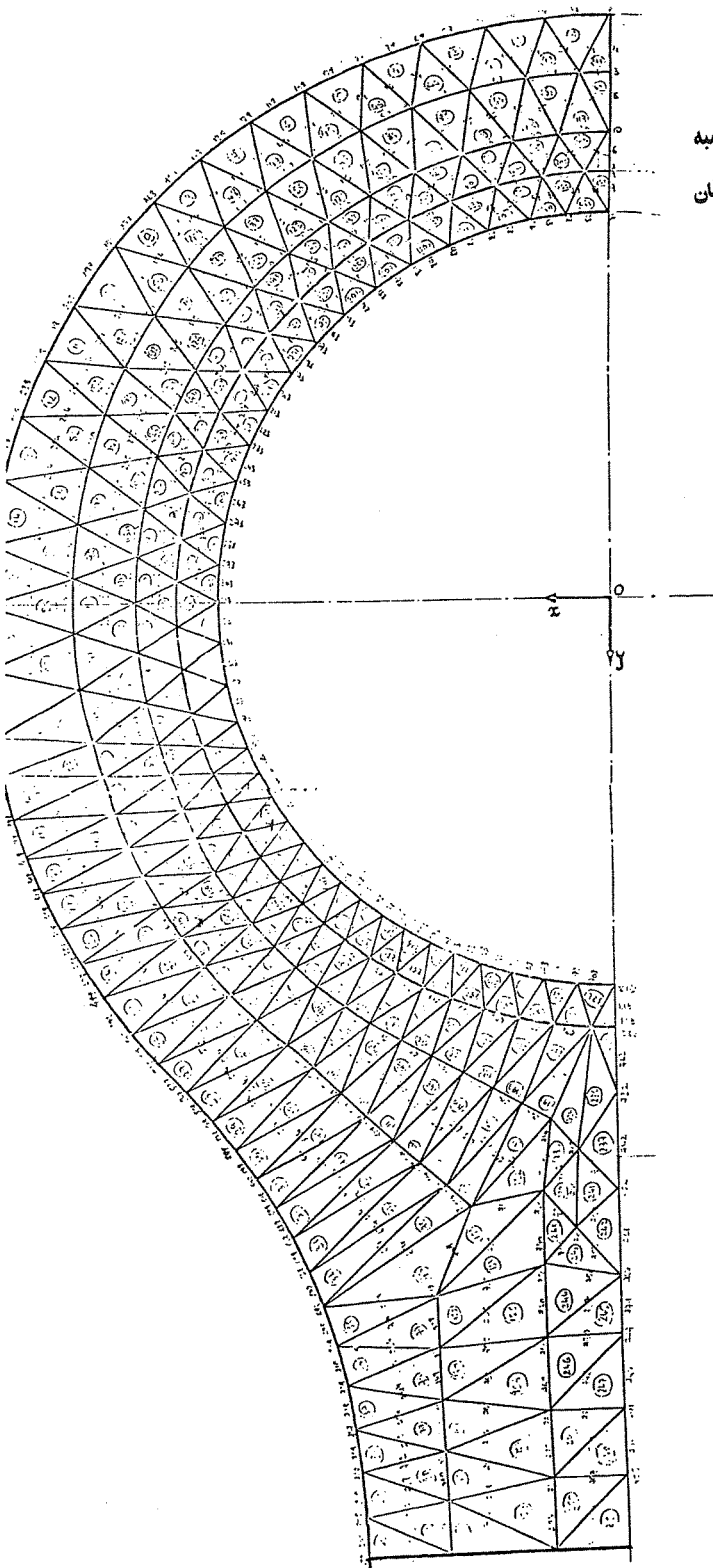
$\frac{daN}{mm^2}$	0.4	0.25	0.33	0.38	0.45	0.48	تجاوز	نیروی احتراق
ه	35	31	31	32	38	35	$\sigma_t > \sigma_n \times 0.15$	
$\frac{daN}{mm^2}$	0.55	0.45	0.49	0.58	0.67	0.66	$\sigma_t \max$	نیروی احتراق
%	-18	-32	-26	-12	+1.5	0		
$\frac{daN}{mm^2}$	1.25	1.08	1.38	1.3	1.6	1.45	تجاوز	نیروی لختی
ه	24	23	23	24	26	25	$\sigma_t > \sigma_n \times 0.15$	
$\frac{daN}{mm^2}$	-1.53	-1.45	-1.71	-1.63	-1.31	-1.73	$\sigma_t \max$	نیروی لختی
%	-11	-18	-1	-6	+10	0		
$\frac{daN}{mm^2}$	2.03	1.8	2.13	2.1	2.5	2.35	میکار	وزن
%	-14	-23	-10	-10	+6	0		

Optimisation	بهینه سازی
Méthode des éléments finis	روش عناصر محدود
Fretting	سایش پوسته ای
Pitting	حال خوردگی

منابع:

- 1- Diesel Engine Reference Book Lilly Butter Wör And Co. Publishers Ltd 1984
- 2- L' Attelage Mobile Des Moteurs Rapides L.Buty M.Petricenko Technip 1964
- 3- Theorie et pratique de la Programmation FORTRAN
- J. VIGNES, M. LAPORTE Technip. 1969
- 4- Mecanique des milieux continus P.GERMAIN Masson Et Cie 1973
- 5- La Methode Des Elements Finis Zienkiewicz Ediscience 1973





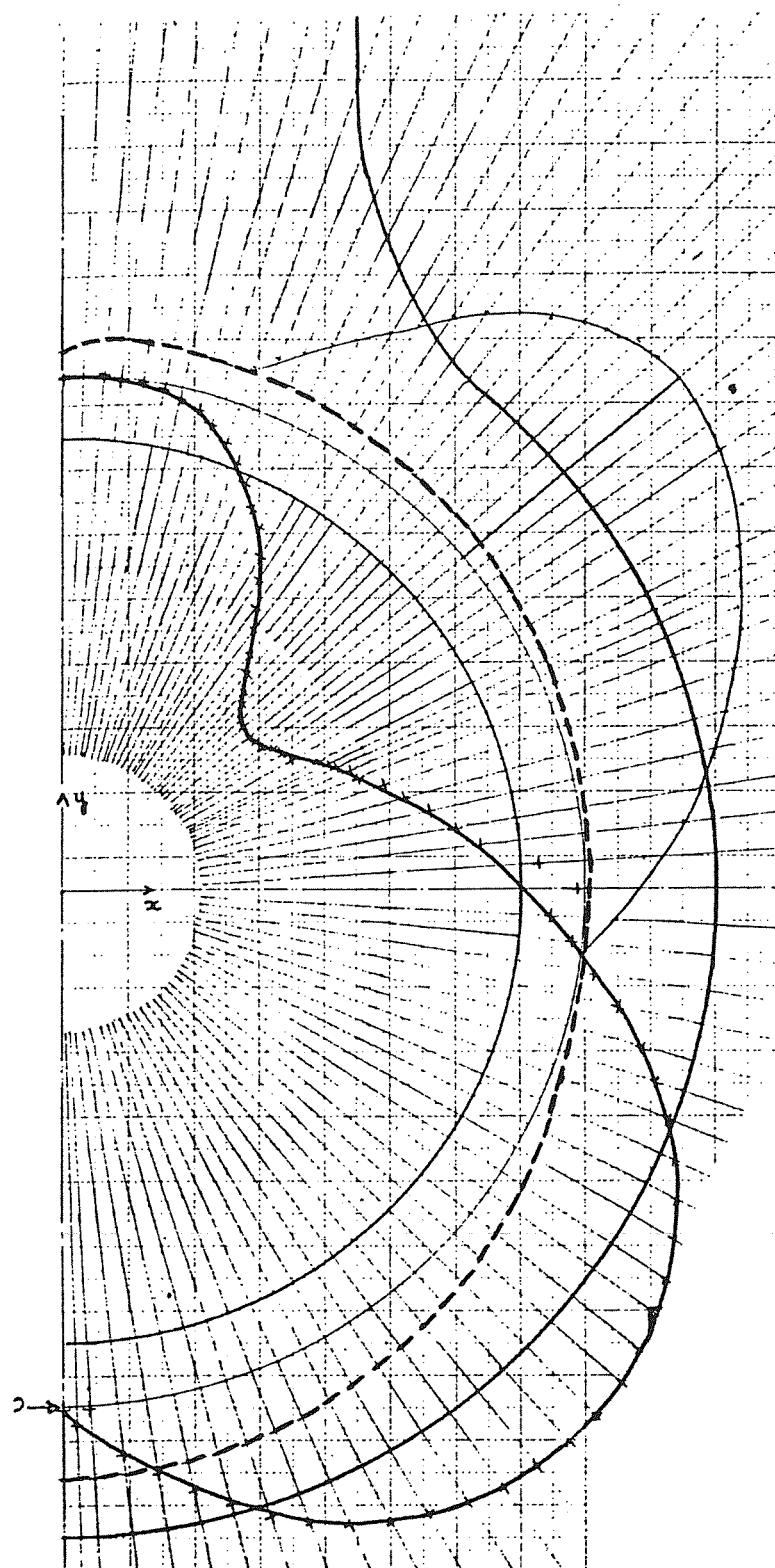
شکل ۲

دسته سمهیه
یاتاقان

شبکه بندي
قسمت فوقانی دسته سمهیه
تعداد گره ها 808
تعداد عناصر 322

مقاييس ١:٢

شکل ۳



نیروی لختی + نیروی حلقه اندازی

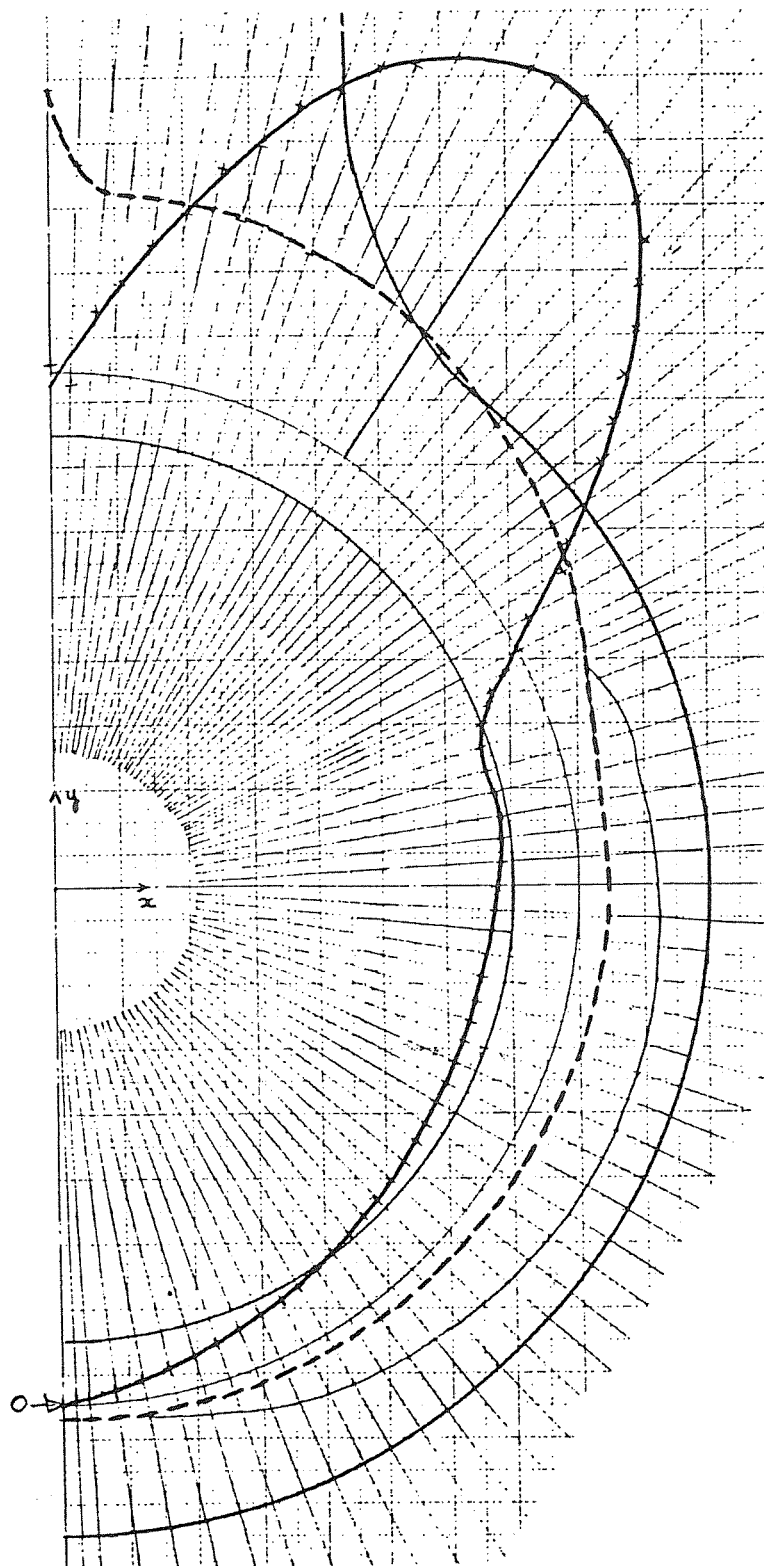
توزیع نیرو SIN 150

نشهای مماسی

نشهای عمودی $\times 0.15$

مقیاس نشها: $1 \text{ N/mm}^2 = 2\text{mm}$

شکل ۴



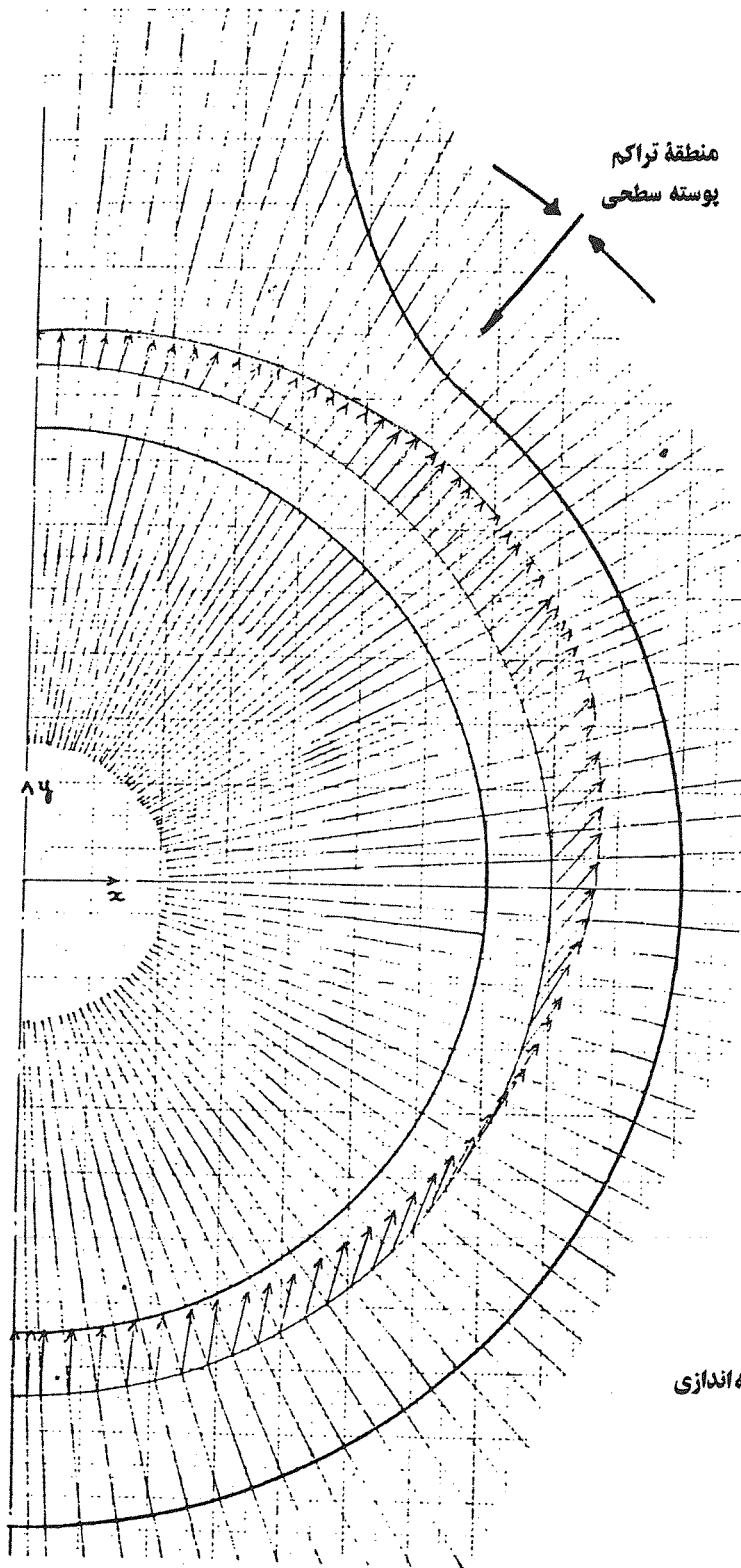
نیروی احتراق + نیروی حلقه اندازی

توزیع نیرو SIN 150

نشهای مماسی —

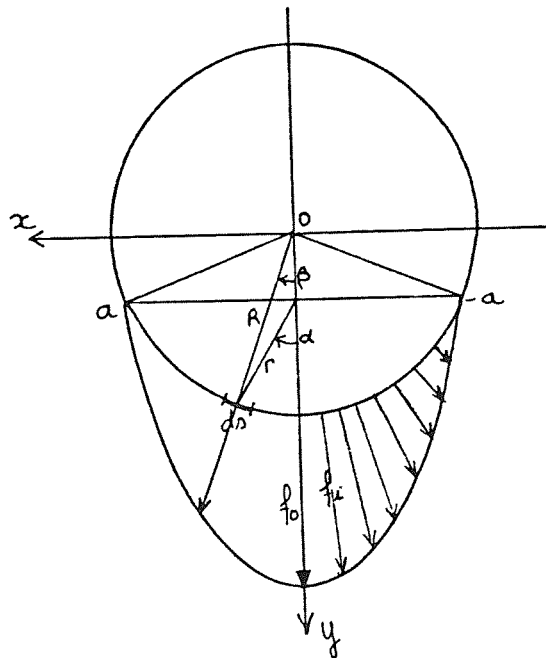
نشهای عمودی $\times 0.15$ - - -

مقیاس نشها: $2\text{mm} = 1 \text{N/mm}^2$



شکل ۵

نیروی احتراق + نیروی حلقه اندازی
توزیع نیرو SIN 150
نمایش جابجایی گره ها
مقیاس: $10\mu=2mm$



$$\alpha \in [0, \frac{\pi}{2}]$$

$$\left. \begin{array}{l} f_i = f_0 \cdot \cos\alpha \\ f_y = f_0 \cdot \cos\alpha \cdot \cos\beta \\ f_x = f_0 \cdot \cos\alpha \cdot \sin\beta \end{array} \right\}$$

بر واحد سطح

شکل ۶ توزع سینوسی نیروی \vec{F}

$$\vec{F} = \int \vec{f} \cdot ds$$

$$\vec{F} = \int (f_y \cdot \vec{y} + f_x \cdot \vec{x}) ds$$

$$F = \int_{-a}^a f_y \cdot ds \quad \text{avec} \quad R d\beta = ds$$

$$F = 2 \int_0^a f_0 \cos\alpha \cdot \cos\beta \cdot ds = 2 \int_0^a f_0 \cos\alpha \cdot \cos\beta \cdot R \cdot d\beta$$

$$r \sin\alpha = R \sin\beta$$

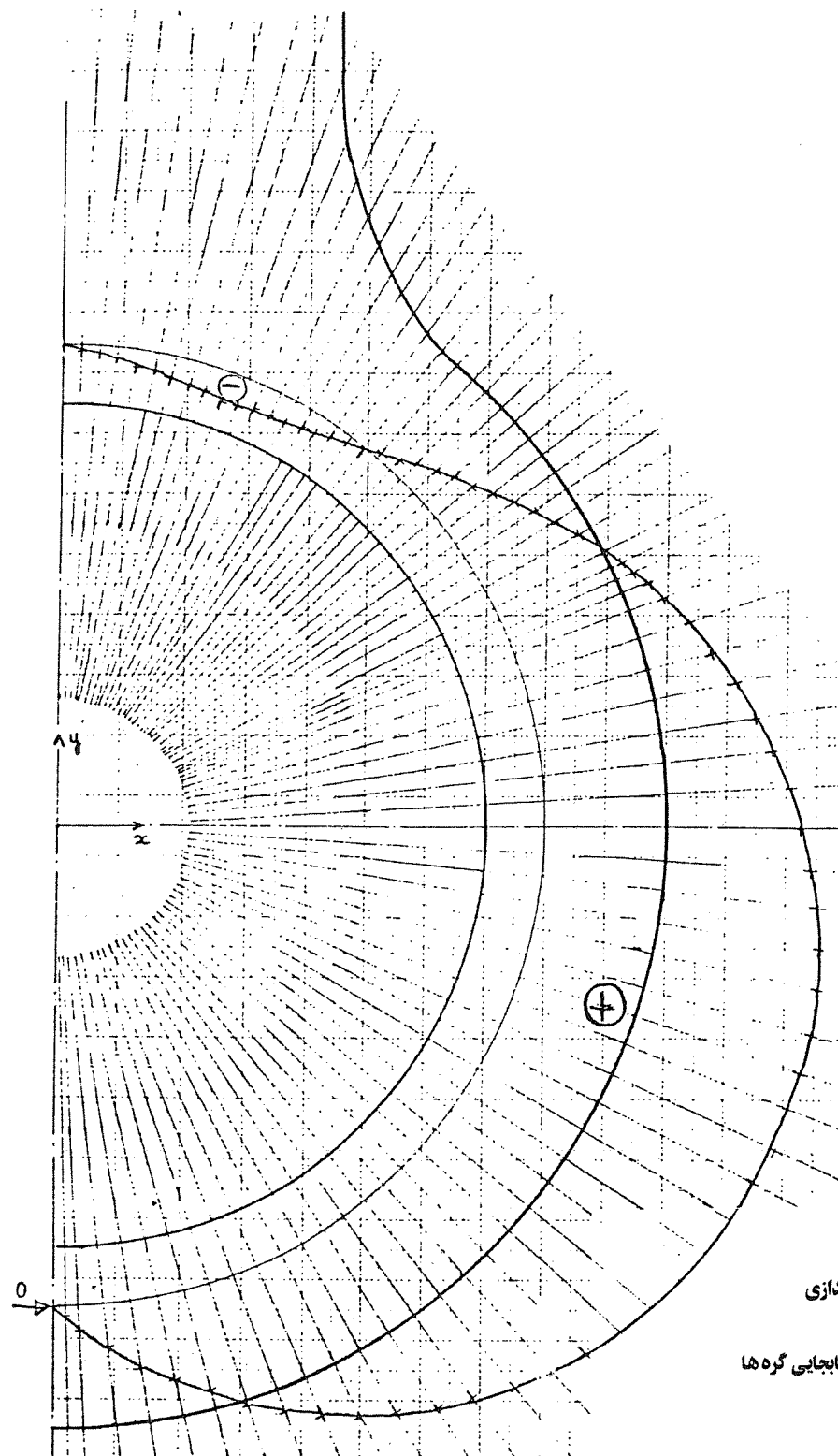
$$r \cos\alpha \cdot d\alpha + \sin\alpha dr = R \cos\beta \cdot d\beta$$

$$F = 2 \int_0^a f_0 \cos\alpha [r \cos\alpha \cdot d\alpha + \sin\alpha dr] \quad r \text{ و } \alpha \text{ تابع}$$

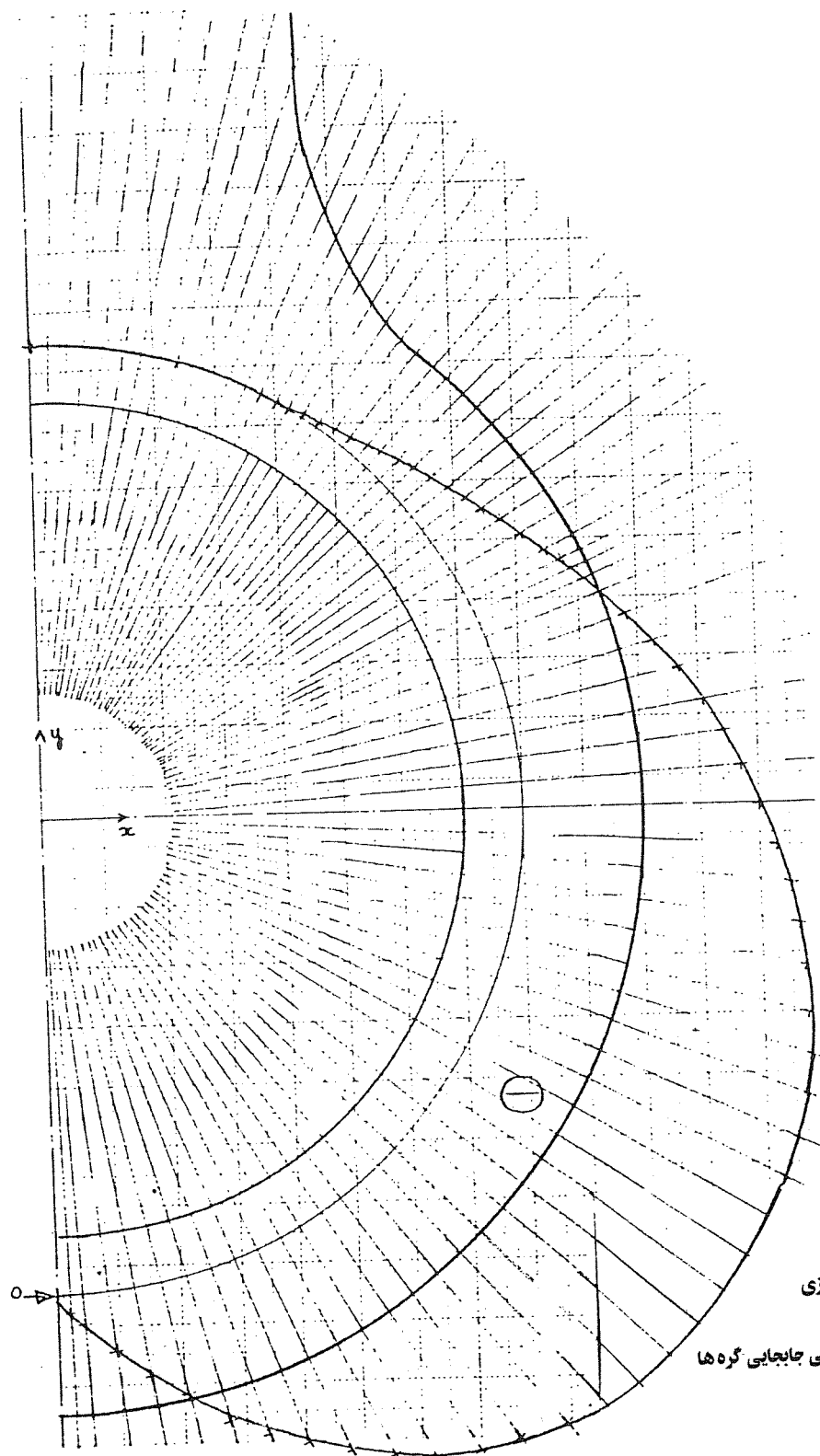
اگر به يك متغير مثلاً β تبديل کنيم بدین صورت در می آيد:

$$F = 2 f_0 R \int_0^{\beta_m} \frac{R \cos^2\beta - a \cos\beta}{\sqrt{a^2 + R^2 - 2 a R \cos\beta}} d\beta$$

شکل ۷

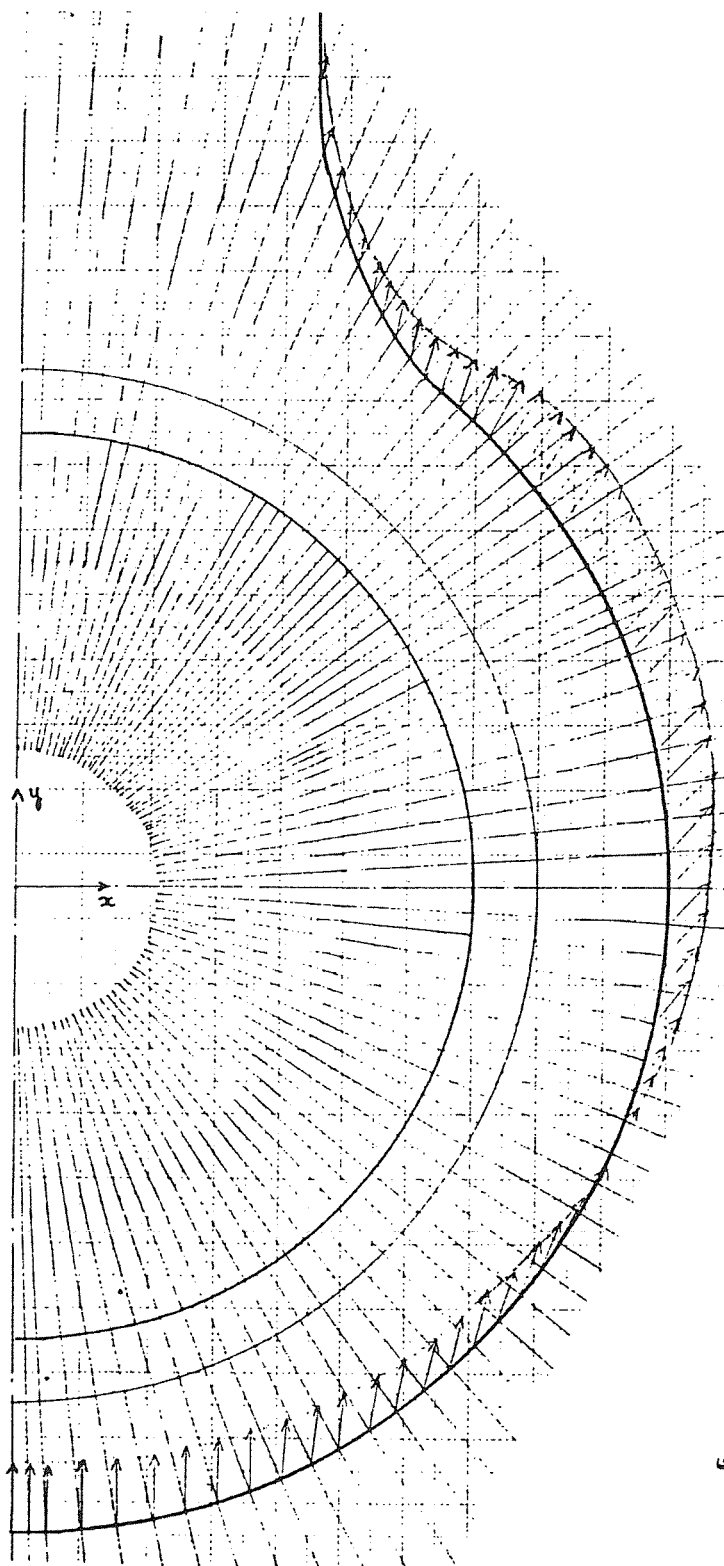


شکل ۸



نیروی لختی + حلقه اندازی
توزیع 150 SIN
نمایش مولفه های مماسی جابجایی گره ها
مقیاس: $1\mu=10\text{mm}$

شکل ۹



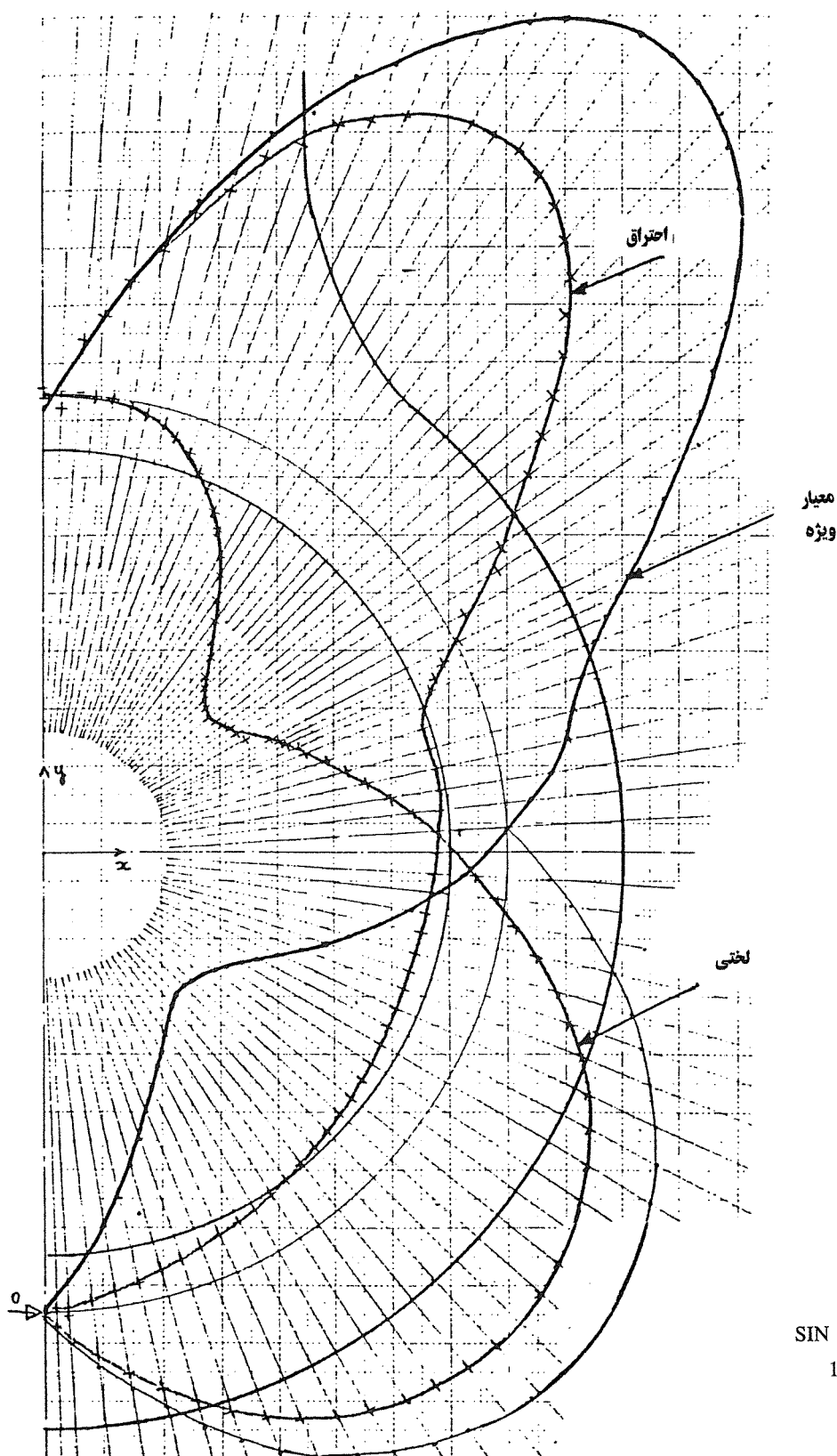
نیروی احتراق + حلقه اندازی

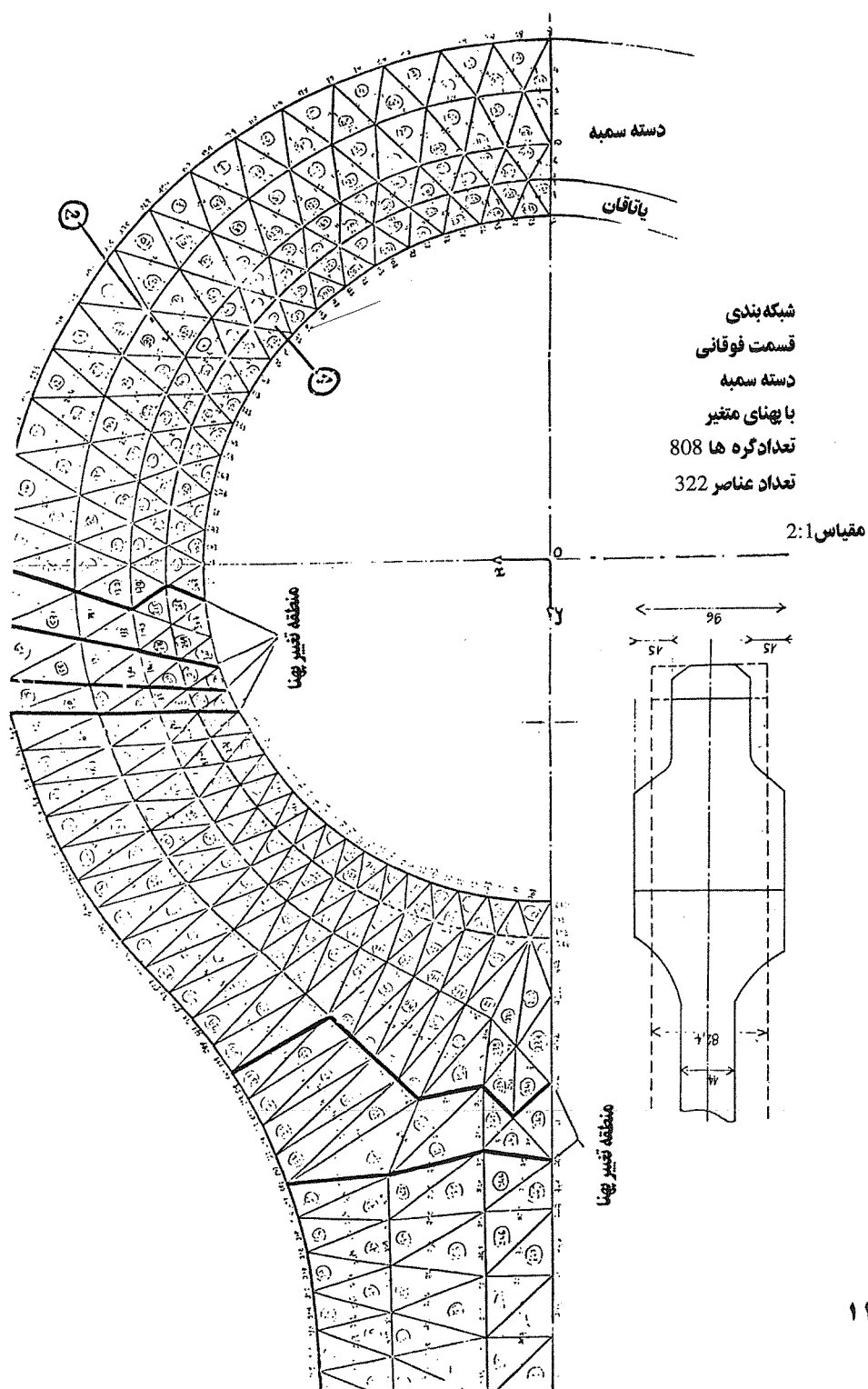
توزیع SIN 150

نمایش تغییر شکل مقطع پیرامونی

مقیاس: $10\mu = 2\text{mm}$

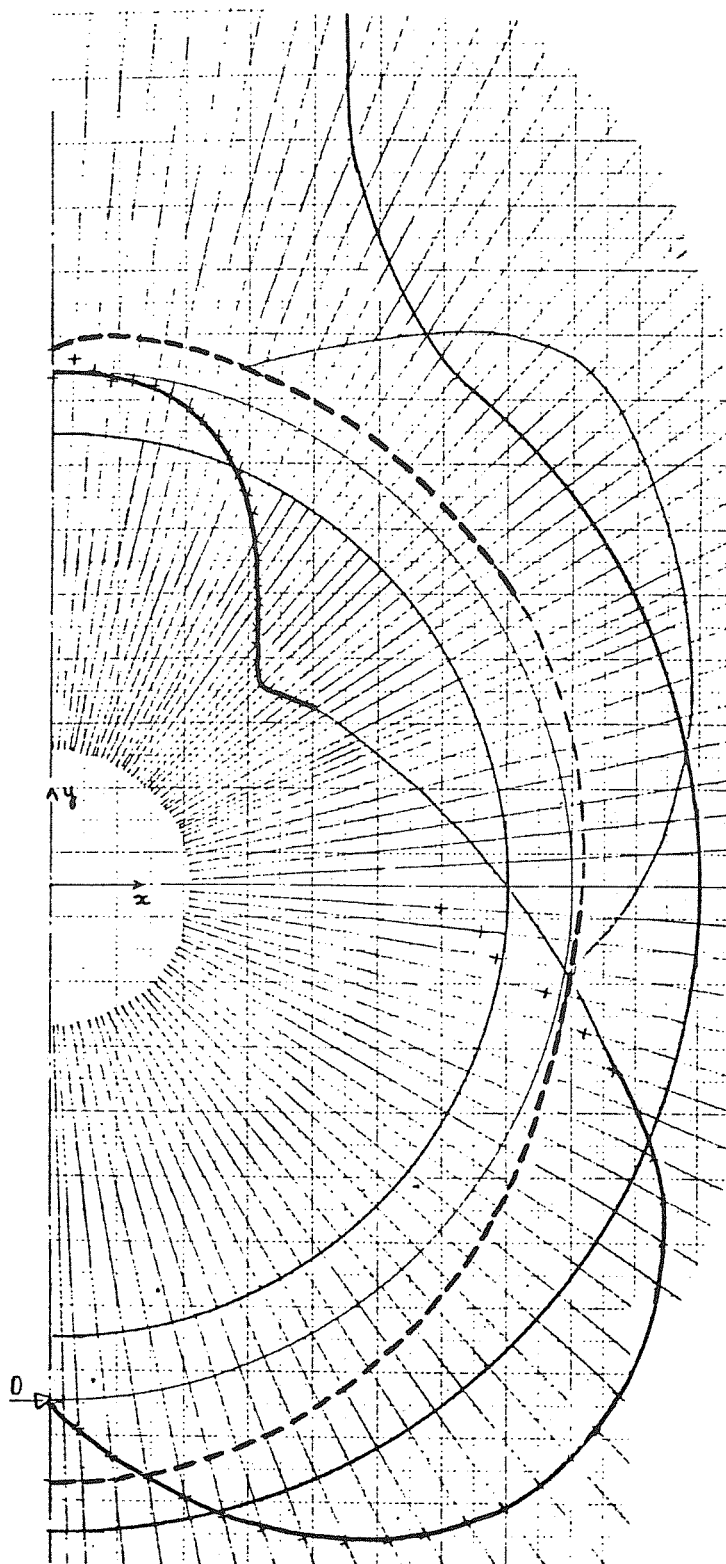
شکل ۱۰



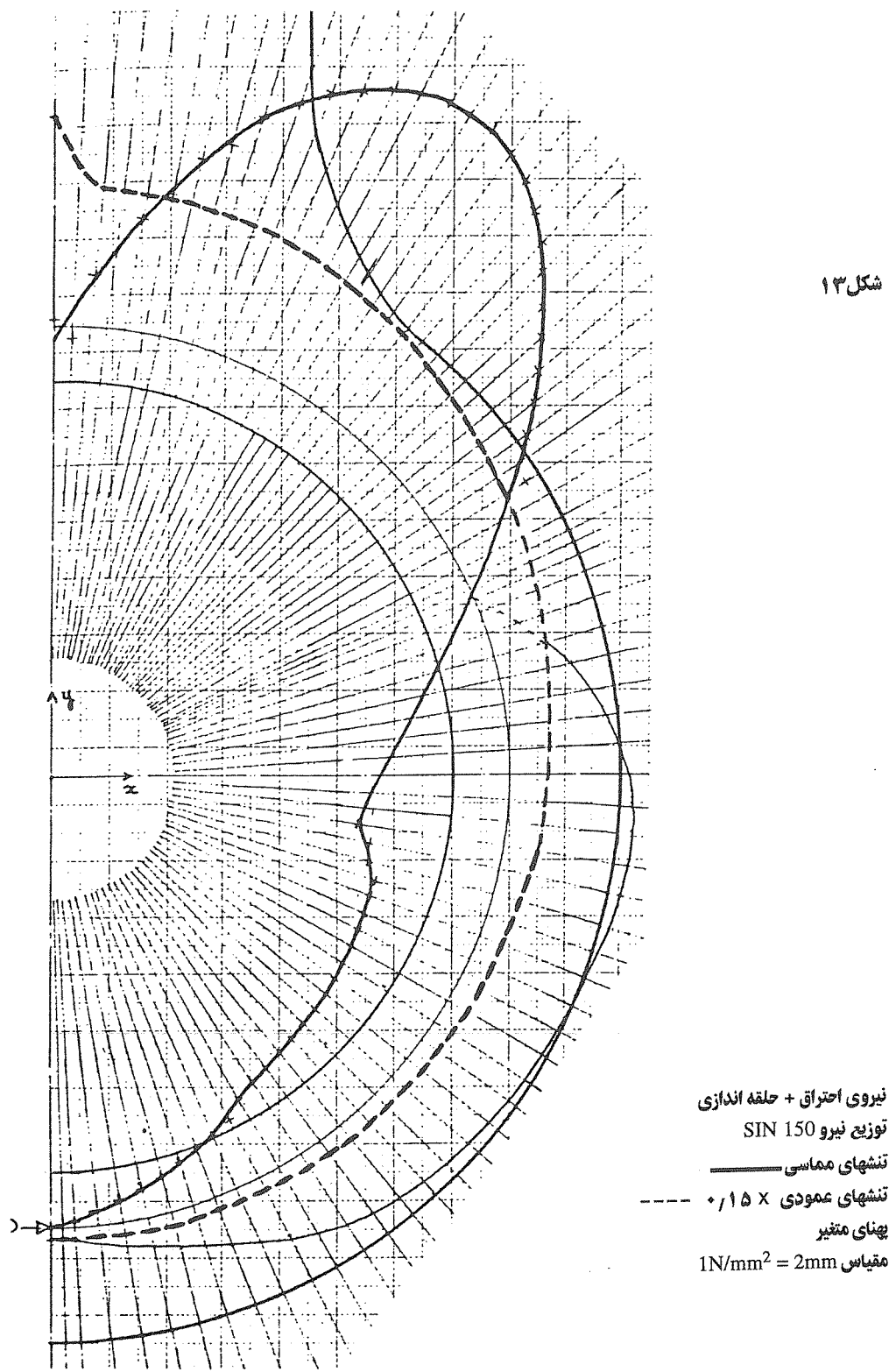


شکل ۱۱

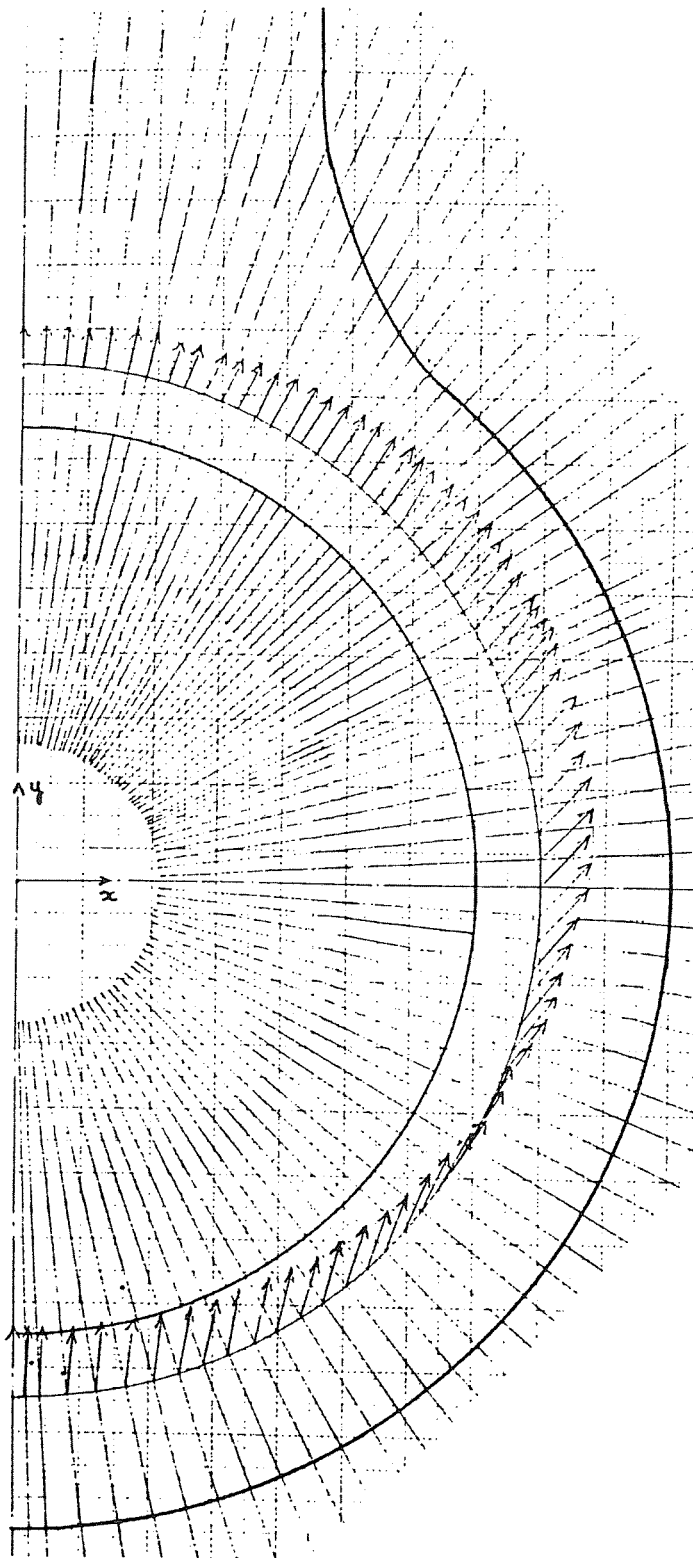
شکل ۱۲



شکل ۱۳

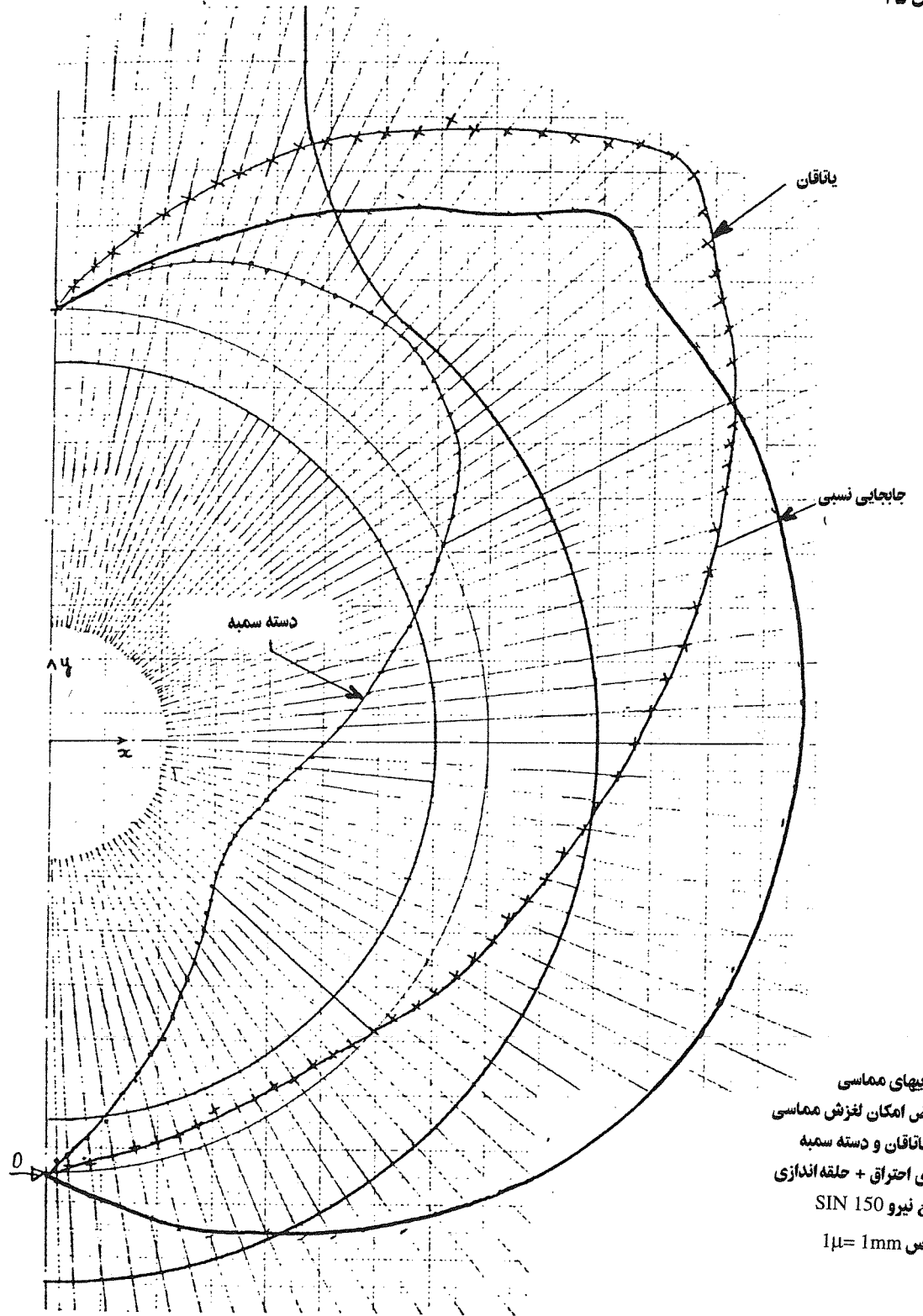


شکل ۱۴

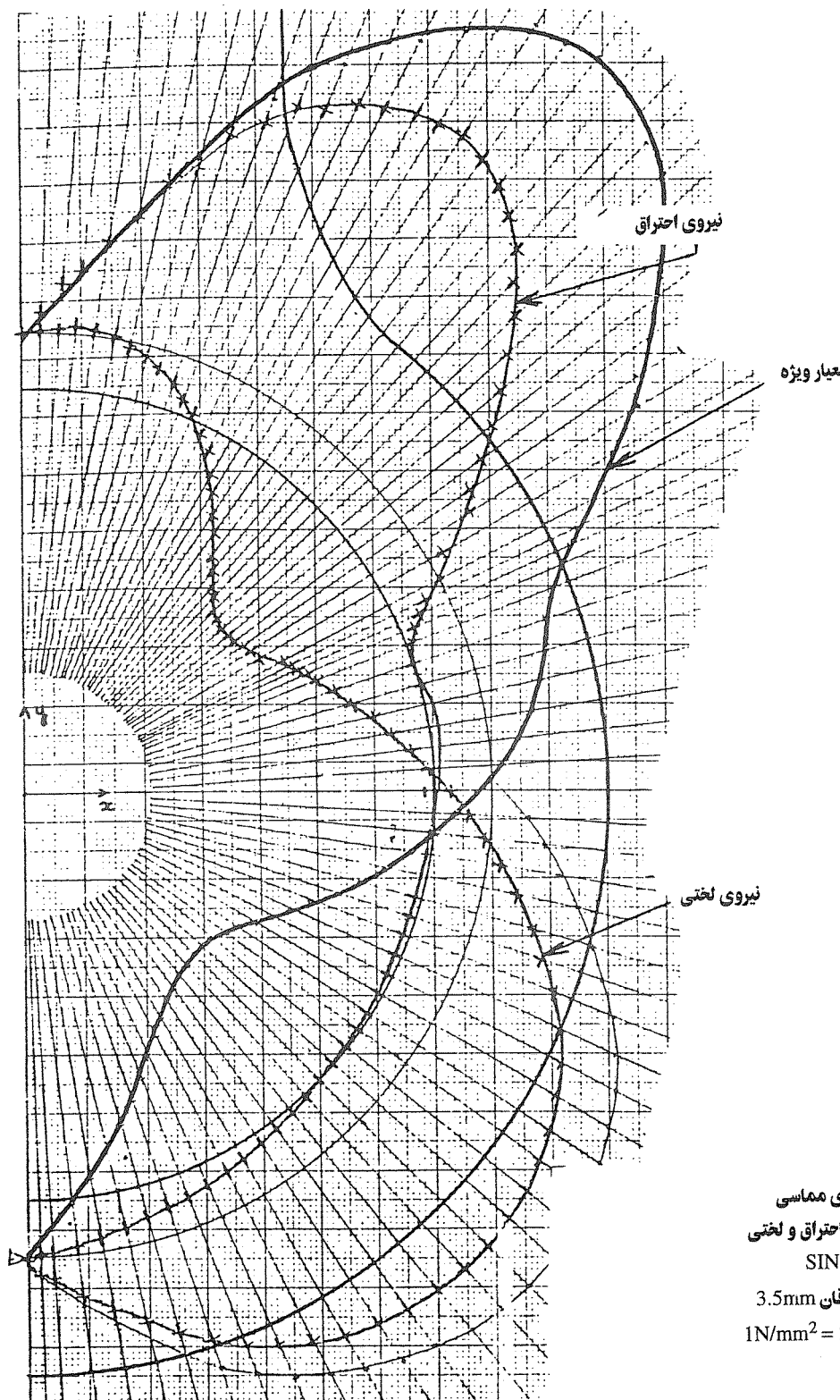


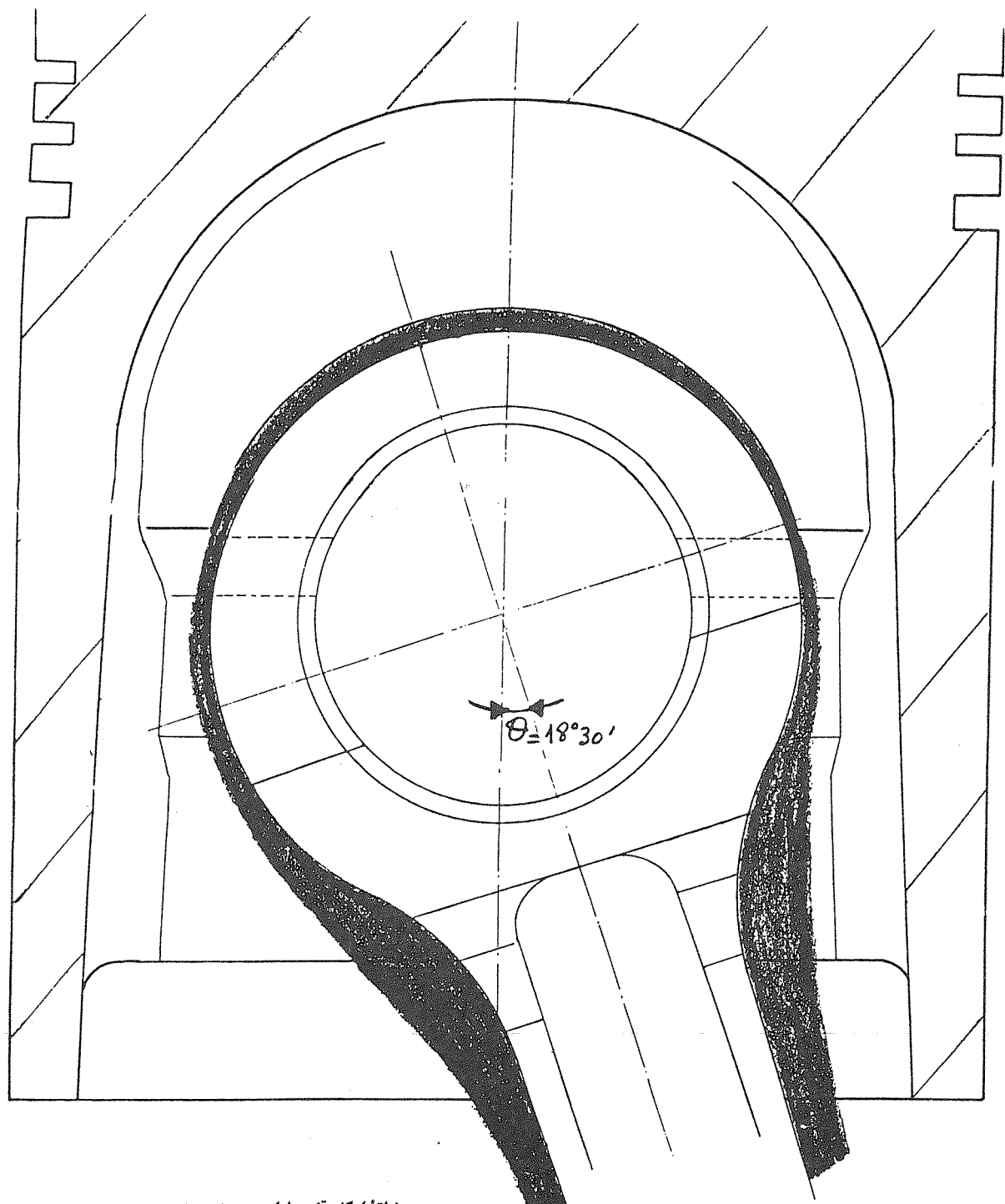
نیروی اختراق + حلقه اندازی
توزیع نیرو 150 SIN 150
نمایش جایجایی گره ها
پهنه ای متغیر
مقیاس: $10\mu = 2\text{mm}$

شکل ۱۵



شکل ۱۶

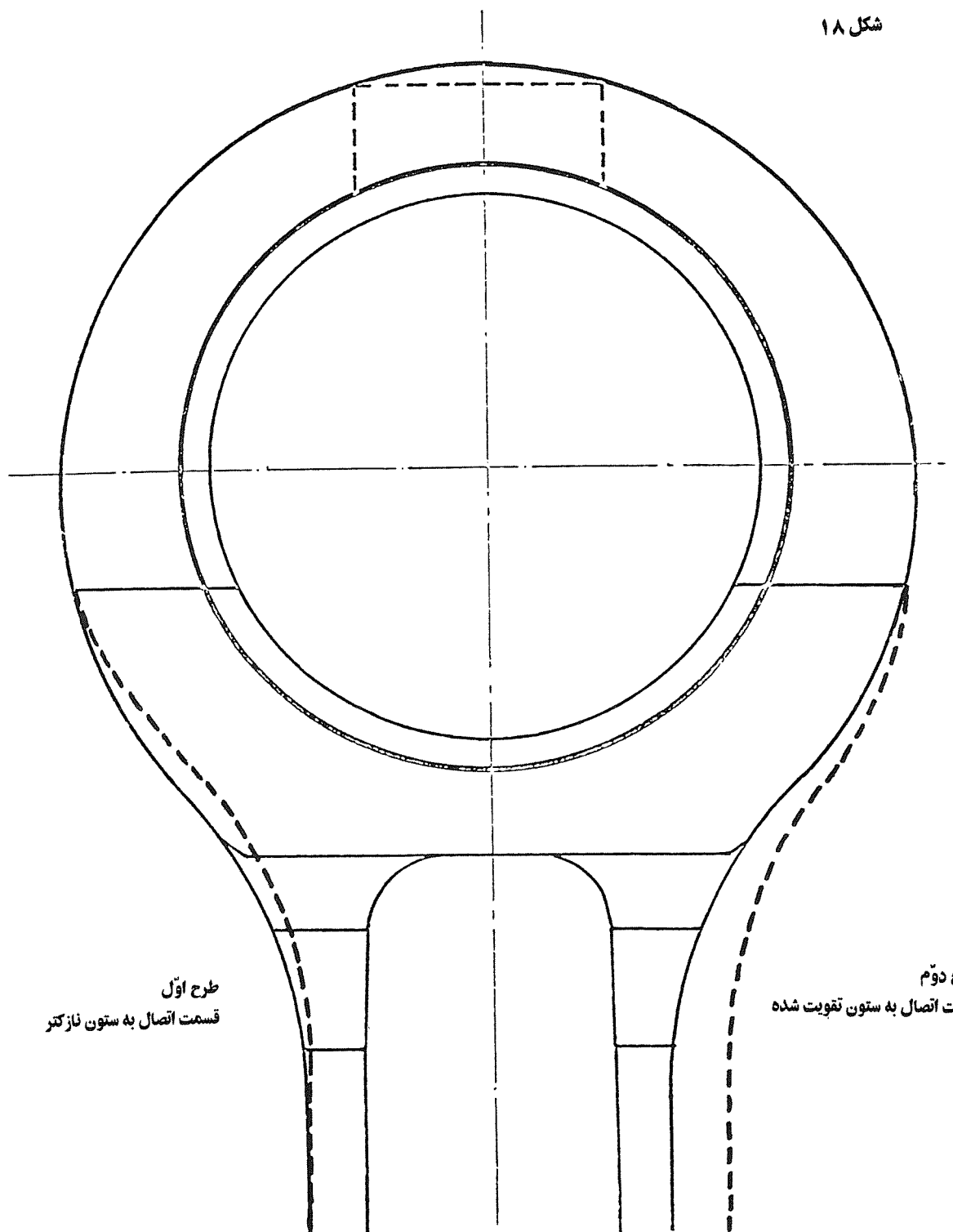


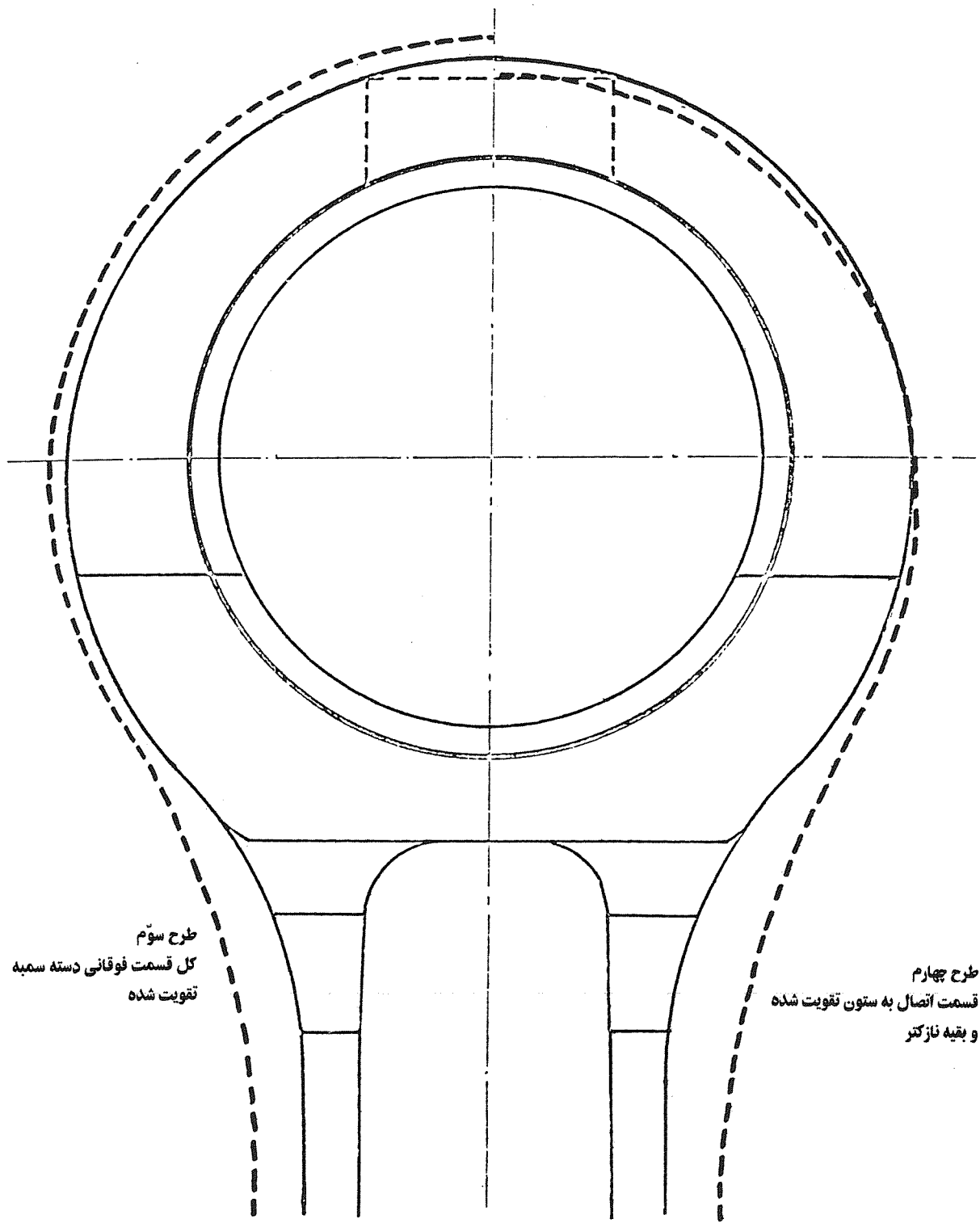


منطقه امکان تغییر طراحی دسته سه به

شکل ۱۷

شکل ۱۸





شکل ۱۹

مقایسه معیار ویژه
برای چهار طرح اصلاحی و نمونه اصلی
توزیع نیرو SIN 150
مقیاس: $1 \text{ daN} = 20 \text{ mm}$

